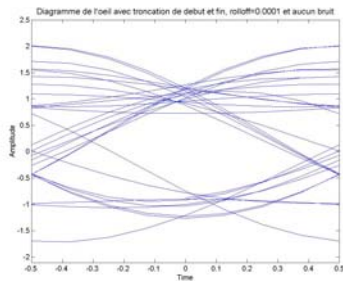


Mercredi le 12 mars 2014; Durée: 13h30 à 15h20
Aucune documentation permise; une calculatrice permise

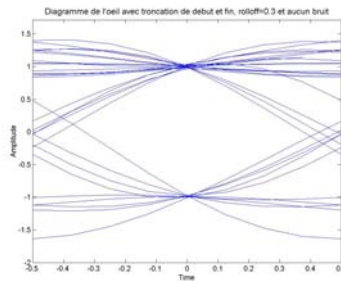
Problème 1 (25 points sur 100)

- A. (10 points) Pour les trois impulsions « raised cosine » illustrées, donner les avantages/désavantages en faisant référence aux diagrammes suivantes :

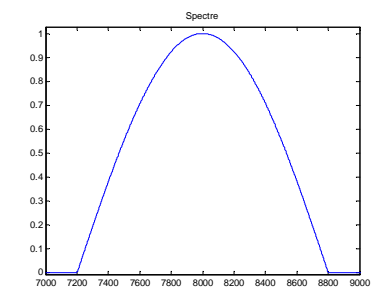
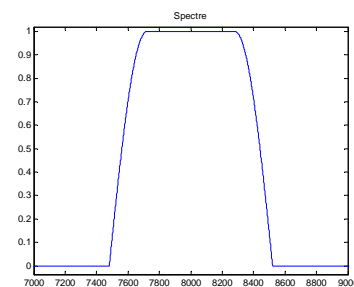
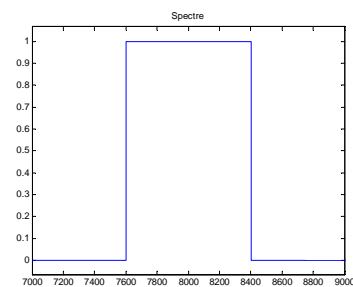
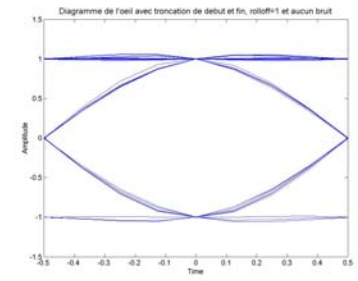
facteur d'affaiblissement=0



facteur d'affaiblissement=0.3

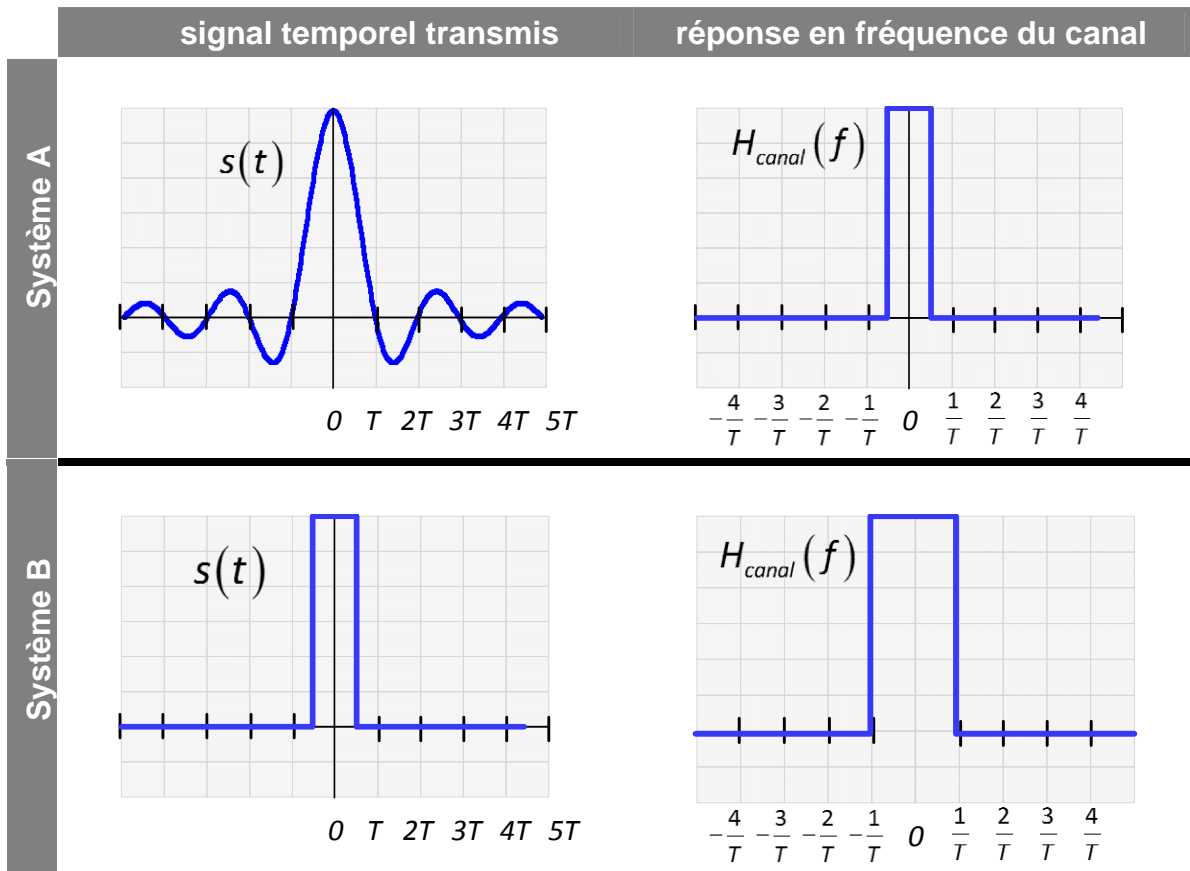


facteur d'affaiblissement=1



- B. (5 points) Quelle est l'impulsion Nyquist idéale et dans quel sens est-il optimal?

- C. (10 points) Lequel de deux systèmes suivants souffrira plus de l'effet « interférence intersymbole » (ISI), et pourquoi?



Problème 2 (20 points)

Pour les signaux

$$s_1(t) = 1, \quad 0 \leq t \leq 1$$

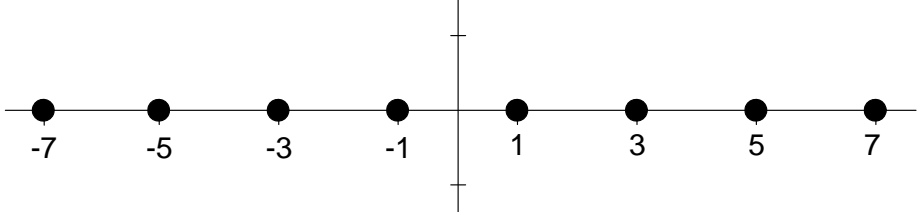
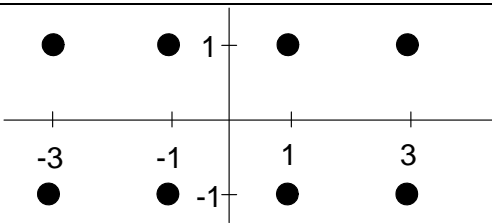
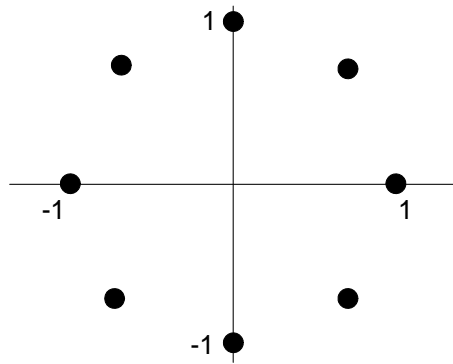
$$s_2(t) = \cos 2\pi t, \quad 0 \leq t \leq 1$$

$$s_3(t) = \cos^2 \pi t, \quad 0 \leq t \leq 1$$

- A. (10 points) Est-ce que ces signaux ont la même énergie? Quelle est l'énergie moyenne par bit?
- B. (10 points) Donnez une base orthonormée pour ces trois signaux.

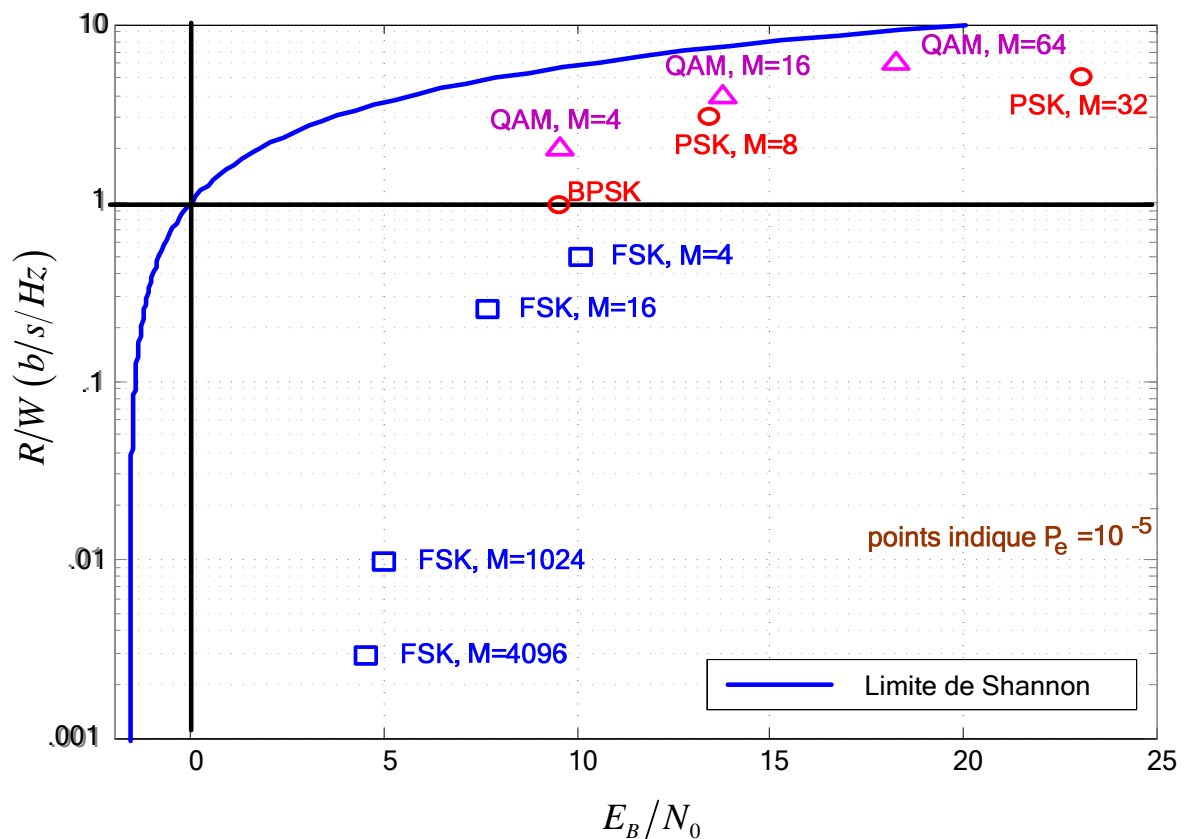
Problème 3 (55 points sur 100)

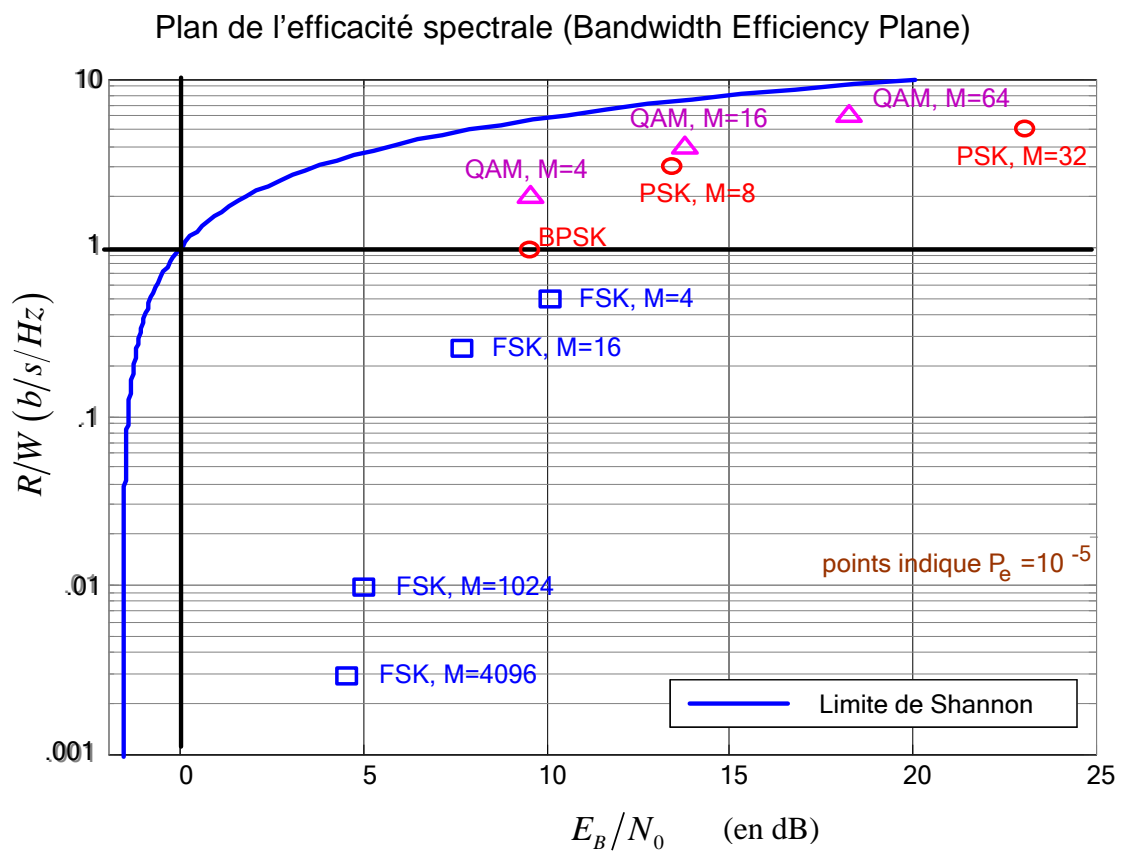
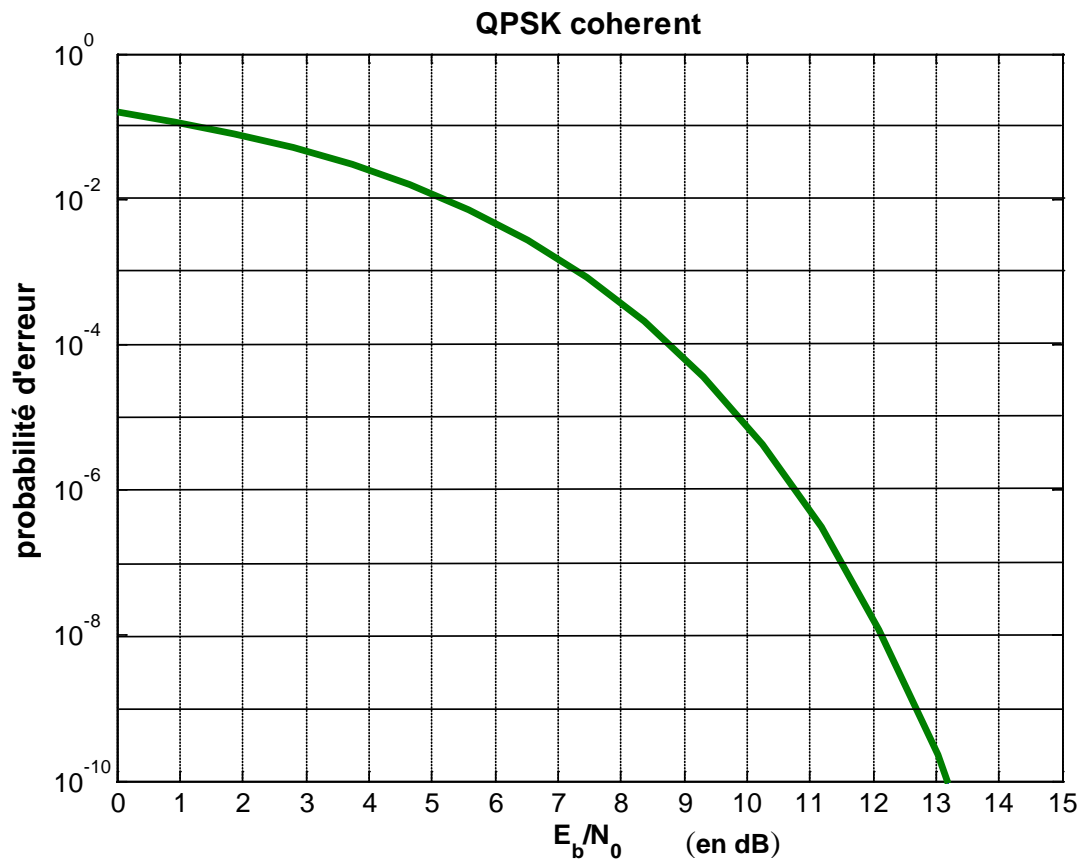
Voici quatre constellations de 8 symboles avec énergie moyenne par symbole de E_s :

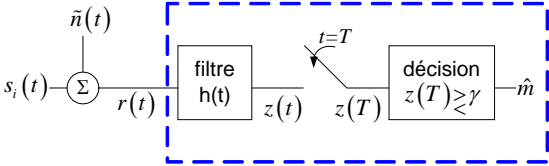
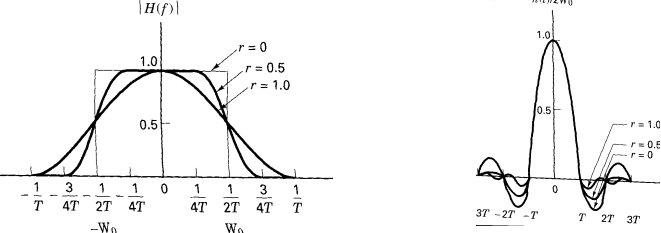
A									
B									
C									
D	<div>Hypercube de dimension 8; points de constellation à</div> <table><tr><td>$(\sqrt{E_s}, 0, 0, 0, 0, 0, 0, 0)$</td><td>$(0, \sqrt{E_s}, 0, 0, 0, 0, 0, 0)$</td><td>$(0, 0, \sqrt{E_s}, 0, 0, 0, 0, 0)$</td><td>$(0, 0, 0, \sqrt{E_s}, 0, 0, 0, 0)$</td></tr><tr><td>$(0, 0, 0, 0, \sqrt{E_s}, 0, 0, 0)$</td><td>$(0, 0, 0, 0, 0, \sqrt{E_s}, 0, 0)$</td><td>$(0, 0, 0, 0, 0, 0, \sqrt{E_s}, 0)$</td><td>$(0, 0, 0, 0, 0, 0, 0, \sqrt{E_s})$</td></tr></table>	$(\sqrt{E_s}, 0, 0, 0, 0, 0, 0, 0)$	$(0, \sqrt{E_s}, 0, 0, 0, 0, 0, 0)$	$(0, 0, \sqrt{E_s}, 0, 0, 0, 0, 0)$	$(0, 0, 0, \sqrt{E_s}, 0, 0, 0, 0)$	$(0, 0, 0, 0, \sqrt{E_s}, 0, 0, 0)$	$(0, 0, 0, 0, 0, \sqrt{E_s}, 0, 0)$	$(0, 0, 0, 0, 0, 0, \sqrt{E_s}, 0)$	$(0, 0, 0, 0, 0, 0, 0, \sqrt{E_s})$
$(\sqrt{E_s}, 0, 0, 0, 0, 0, 0, 0)$	$(0, \sqrt{E_s}, 0, 0, 0, 0, 0, 0)$	$(0, 0, \sqrt{E_s}, 0, 0, 0, 0, 0)$	$(0, 0, 0, \sqrt{E_s}, 0, 0, 0, 0)$						
$(0, 0, 0, 0, \sqrt{E_s}, 0, 0, 0)$	$(0, 0, 0, 0, 0, \sqrt{E_s}, 0, 0)$	$(0, 0, 0, 0, 0, 0, \sqrt{E_s}, 0)$	$(0, 0, 0, 0, 0, 0, 0, \sqrt{E_s})$						

- A. (10 points) Donnez la correspondance entre les constellations et les modulations 8PSK, 8QAM, 8PAM, et 8FSK.
- B. (5 points) Comment savons-nous que seulement la constellation D a les coordonnées dans l'espace du signal?

- C. (10 points) Supposons que 1 Mb/s est transmis avec l'impulsion de Nyquist idéale. Quelle est la largeur de bande (en Hz) pour chaque constellation et l'efficacité spectrale (en b/s/Hz) pour la détection cohérente?
- D. (10 points) Calculer les coordonnées pour l'espace du signal pour les constellations A et B.
- E. (5 points) Trouvez la probabilité d'erreur en fonction de E_b/N_0 pour la constellation A en utilisant l'estimé provenant de la borne de l'union.
- F. (5 points) Trouvez la perte en dB par rapport au QPSK pour constellation A.
- G. (10 points) Mettre le point pour constellation A dans le graphique suivant





<p>Récepteur d'échantillonnage</p> 	<p>MAP: i qui maximise $p(z s_i) p(s_i)$ i qui minimise $\ \mathbf{r} - \mathbf{s}_i\ ^2 - N_0 \ln P(\mathbf{s}_i)$ $P(\mathbf{s}_i)$ = probabilité a priori de symbole \mathbf{s}_i</p> <p>ML: i qui maximise $p(z s_i)$ i qui minimise $\ \mathbf{r} - \mathbf{s}_i\ ^2$</p>
<p>Raised cosine $v(t) = \frac{\sin(\pi t/T_s)}{\pi t/T_s} \frac{\cos(r\pi t/T_s)}{1 - 4r^2 t^2/T_s^2}$</p> 	<p>Énergie moyenne</p> $E_{\text{moy}} = \frac{1}{M} \sum_{i=1}^M \ \mathbf{s}_i\ ^2$ $= \frac{1}{M} \sum_{i=1}^M [\text{énergie du signal } i]$ <p>Énergie par bit v. énergie par symbole</p> $E_b \log_2 M = E_s$
<p>QAM $\eta = \log_2 M$ †</p> <p>Conversion de l'espace I/Q vers espace du signal</p> $(\tilde{a}_n^I, \tilde{a}_n^Q) = \sqrt{\frac{M \cdot E_s}{\sum_{i=1}^M [(a_n^I)^2 + (a_n^Q)^2]}} (a_n^I, a_n^Q)$ <p>coordonnées, espace du signal (blue arrow pointing to $\tilde{a}_n^I, \tilde{a}_n^Q$)</p> <p>coordonnées, espace I/Q (red arrow pointing to a_n^I, a_n^Q)</p> <p>cas rectangulaire (carrée) $M=L^2$</p> $P_e = 2 \left(1 - \frac{1}{\sqrt{M}}\right) Q \left(\sqrt{\frac{3 \log_2 M}{(M-1)}} \frac{E_b}{N_0} \right) \quad d_{\min} = \sqrt{\frac{6 \log_2 L}{L^2 - 1}}$	<p>Borne d'union</p> $P_e \approx \frac{2K}{M} Q \left(\frac{D_{\min}}{\sqrt{2N_0}} \right) = \frac{2K}{M} Q \left(d_{\min} \sqrt{\frac{E_b}{N_0}} \right)$ <p>K est le nombre des paires des signaux séparés par la distance minimale D_{\min}</p> <p>Distance minimale dans l'espace du signal</p> $D_{\min} = \min_{i \neq k} \ \mathbf{s}_i - \mathbf{s}_k\ \quad \text{et} \quad d_{\min} = \frac{D_{\min}}{\sqrt{2E_b}}$
$P_e(\text{BPSK}) = Q \left(\sqrt{\frac{2E_b}{N_0}} \right)$ $P_e(\text{OOK}) = Q \left(\sqrt{\frac{E_b}{N_0}} \right)$ $P_e(\text{QPSK}) \approx 2Q \left(\sqrt{\frac{2E_b}{N_0}} \right)$ <p>Perte par rapport à QPSK</p> $d_{\min} = \sqrt{x} \sqrt{2} \quad \text{perte} = -10 \log_{10} x$	<p>Pour une modulation orthogonale</p> $P_e(\text{bit}) = P_b = P_e(\text{symbol}) \frac{M/2}{M-1}$ <p>Pour une modulation non-orthogonale avec codage de gray</p> $P_e(\text{bit}) = P_b = \frac{P_e(\text{symbol})}{\log_2 M}$ <hr/> <p>Efficacité spectrale</p> $\eta = \frac{R_b}{W} = \frac{1}{T_b} \frac{1}{W} \text{ bits/s/Hz}$

<div><div><div><div><div><div>$\psi_1(t) = \sqrt{\frac{2}{T}} \cos \omega_0 t$</div><div>$r(t)$</div><div>$\psi_2(t) = \sqrt{\frac{2}{T}} \sin \omega_0 t$</div></div><div><div>$\otimes$</div><div>$\otimes$</div></div><div><div>$\int_0^T \cdot dt$</div><div>$\int_0^T \cdot dt$</div></div><div><div>$X = \int_0^T r(t) \psi_1(t) dt$</div><div>$Y = \int_0^T r(t) \psi_2(t) dt$</div></div><div>$\arctan \frac{Y}{X}$</div><div><div>Compute $\phi_i - \hat{\phi}$</div></div><div>Choose smallest</div><div>$\hat{s}_i(t)$</div></div></div></div><div>$P_e(M) \approx 2Q\left(\sqrt{\frac{2E_s}{N_0}} \sin \frac{\pi}{M}\right)$$= 2Q\left(\sqrt{\frac{2E_b \log_2 M}{N_0}} \sin \frac{\pi}{M}\right)$</div></div> <div><div><div><div><div><div>$r(t)$</div><div>\otimes</div><div>$\int_0^T \cdot dt$</div><div>Decision stage</div></div><div><div>Delay T</div><div>Reference</div></div></div><div>Coherent detector</div><div>$\hat{s}_i(t)$</div></div></div><div>~1 dB de perte entre DPSK et BPSK</div></div> <div><div><div><div><div>$C = W \log_2(1 + SNR)$</div><div>$SNR = \frac{E_b}{N_0} \eta$</div></div><div>$\frac{E_b}{N_0} = \frac{W}{C} (2^{C/W} - 1)$</div><div>$\frac{C}{W} \rightarrow 0 \Rightarrow \frac{E_b}{N_0} \rightarrow -1.6dB$</div></div></div><div><div><div><div><div>θ</div><div>$\cos \theta$</div><div>$\sin \theta$</div><div>$\tan \theta$</div></div><div><div>0</div><div>1</div><div>0</div><div>0</div></div><div><div>$\pi/8$</div><div>.85</div><div>.38</div><div>.41</div></div><div><div>$\pi/4$</div><div>$1/\sqrt{2}$</div><div>$1/\sqrt{2}$</div><div>1</div></div><div><div>$\pi/3$</div><div>1/2</div><div>$\sqrt{3}/2$</div><div>$\sqrt{3}$</div></div><div><div>$\pi/2$</div><div>0</div><div>1</div><div>∞</div></div></div><div><div>$\tan(y) = x$</div><div>$\Leftrightarrow y = \arctan x + k\pi$</div><div>$\cos^2 \theta = \frac{1}{2}(1 + \cos 2\theta)$</div><div>$\sin(\alpha + \beta) = \sin \alpha \cos \beta + \cos \alpha \sin \beta$</div><div>$\cos(\alpha + \beta) = \cos \alpha \cos \beta - \sin \alpha \sin \beta$</div></div></div></div><div><div><div><div><div><div>$\eta = \log_2 M$</div><div>\dagger</div></div><div><div><div><div><div><div>Reference signals $s_1(t)$</div><div>\vdots</div><div>$s_M(t)$</div></div><div><div>\otimes</div><div>\vdots</div><div>\otimes</div></div><div><div>$\int_0^T \cdot dt$</div><div>\vdots</div><div>$\int_0^T \cdot dt$</div></div><div><div>$z_1(T) = \int_0^T r(t) s_1(t) dt$</div><div>$\vdots$</div><div>$z_M(T) = \int_0^T r(t) s_M(t) dt$</div></div><div>Decision stage</div><div>Comparator selects $s_i(t)$ with max $z_i(T)$</div><div>$\hat{s}_i(t)$</div></div></div></div><div>$P_e = (M-1)Q\left(\sqrt{\frac{E_s}{N_0}}\right) = (M-1)Q\left(\sqrt{\frac{E_b \log_2 M}{N_0}}\right)$</div><div>Séparation minimale $1/2T_s$</div></div><div><div><div><div><div><div>$\eta = \frac{\log_2 M}{M}$</div><div>$\dagger$</div></div><div><div><div><div><div><div>Bandpass filters centered at f_i with bandwidth $W_f = 1/T$</div><div>$r_i(t) = s_i(t) + n(t)$</div></div><div><div>Filter f_1</div><div>Filter f_2</div><div>\vdots</div><div>Filter f_M</div></div><div><div>Envelope detector</div><div>Envelope detector</div><div>\vdots</div><div>Envelope detector</div></div><div><div>$z_1(T)$</div><div>$z_2(T)$</div><div>\vdots</div><div>$z_M(T)$</div></div><div>Decision stage</div><div>$\hat{s}_i(t)$</div></div></div></div></div><div>$P_e(BFSK) = \frac{1}{2}e^{-E_b/2N_0}$</div><div>~1 dB de perte BFSK cohérente vs. incohérente</div><div>Séparation minimale $1/T_s$</div></div><div><div><div><div><div>$\eta = \log_2 M$</div><div>\dagger</div></div><div><div><div><div><div><div>$\psi_1(t) = \frac{1}{\sqrt{E_1}} s_1(t)$</div><div>où $E_1 = \int_0^T s_1^2(t) dt$</div></div><div>$\theta_2(t) = s_2(t) - \langle s_2(t), \psi_1(t) \rangle \psi_1(t)$</div><div>$E_2 = \int_0^T \theta_2^2(t) dt$</div><div>$\psi_2(t) = \frac{\theta_2(t)}{\sqrt{E_2}}$</div></div><div>i. $\theta_i(t) = s_i(t) - \sum_{k=1}^{i-1} \langle s_i(t), \psi_k(t) \rangle \psi_k(t)$</div><div>$E_i = \int_0^T \theta_i^2(t) dt$</div><div>$\psi_i(t) = \frac{\theta_i(t)}{\sqrt{E_i}}$</div></div></div></div></div></div></div></div></div></div></div></div></div></div></div>

[†] en supposant une impulsion Nyquist idéale